

高知港津波模型実験による港内津波スペクトルの特性について

京都大学防災研究所 正員 土屋義人
准士 上野正員 中村重久

1. 緒言 高知港は海底地震による津波の時に多大の被害を蒙りました。このような被害をなくし、またに港湾の将来計画を検討するにあたっては、高知港に侵入する津波の特性を明らかにしておかなければなりません。本文では、高知港の現況地形に侵入した津波の港内に及ぼす挙動を、津波のパワースペクトルによって検討した結果を報告します。

2. 津波模型* 高知港の模型は水平縮尺 $1/250$ 、鉛直縮尺 $1/100$ である。また力学的相似律を考慮すれば、時間縮尺は $1/25$ 、流速縮尺は $1/10$ となる。模型はモデル化仕上げで Manning の流速公式によつて底面粗度を $n=0.03$ とした。実験に用いた模型の平面図は図-1 のようであり、 PLUNGER 式造波装置によつて津波を発生させようになつてある。模型内に28測点をもつて、電気抵抗線式水位計を用いて津波の自己記録を行つた。測点の位置は図-1 に示されてある。

3. 実験波* 実験に用いた模型では、4リットルの再現が可能なり、 ± 9 模型によつて計画津波の実験を行なうは、予測された津波に対する対策を検討するにあたる。港口の測点上で平均高潮面の水位のとき、 ± 9 の平均高潮面上 2.4 m を基とし、平均高潮面下 1.5 m を各とするよしな計画津波が侵入してきたものとする。 ± 9 場合、 ± 9 よしな津波が、港内に進入するとともにどのように変形するかをみると、図-2 のようになつてある。 ± 9 図で、模型縮尺にて軸は相対水位、 y 軸は時間であるから、曲線は各測点における波形記録である。

± 9 の記録は、下から上へ測点 1 から測点 28 まで配列されており、図-1 と対比すると、波形の変形の過程がよくわかる。津波は港内に入ると、地形の影響、底面摩擦、回折、屈折、浸水効果などと共に振現後によつて複雑に変化するが、港内の波高は港口よりも小さい。

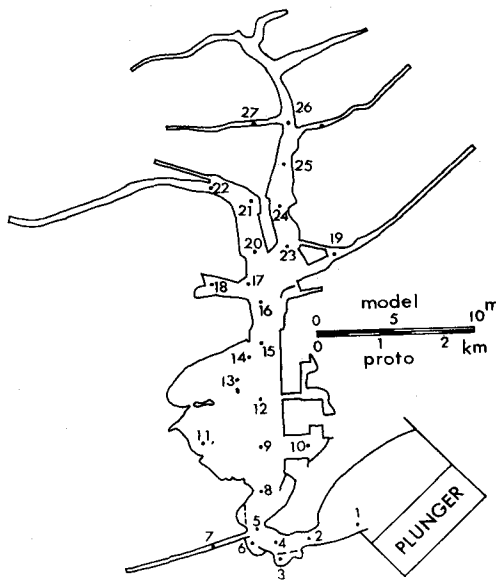


図-1

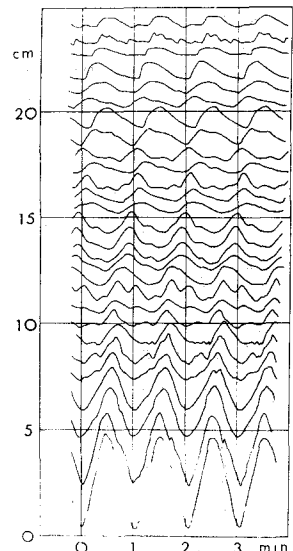


図-2

4. 津波スペクトル 港内に侵入した津波の検討をハーフースペクトルによつて行なつてみる。図-2の3ヶ所、St.1は代表的な測定点を選び、それらの波形記録と周波数分析を行なつた。その結果は図-3に示すようになつて、測定1から測定2と港内に入るとともに測定点の津波エネルギーは小さくなつていい。測定10および11をみると、津波が主な進行方向以外の振動を誘起するのにエネルギーが置換されたりることはわかる。

各測定点の津波スペクトルで、低周波側の限界から高周波側へエネルギー密度Efの周波数に固有な積分を行なうと、各測定点について津波の全エネルギーEが得られる。このEと各測定点の波高との関係は図-4のようになる。図中の直線は $E = a H_{obs}^2$ (定数 $a = 16.5$) である。測定1について微小振幅波の理論を適用すると $a = 6.06$ である。定数aの差異は線型性の問題と境界条件の相違によるものと予測される。また、 H_{obs} の指數は線型理論で与えられて“3”値ではなく2.67である。これは、線型的取扱いのみで津波の問題を許すことは十分でないことを意味すると考えられる。

隣りあつた測定間で、単位幅あたりの津波エネルギーおよびエネルギー束は図-5で示される。図中の数字は測定点を示す。津波エネルギーの減少率は港口弯曲部で大きく、エネルギー束の減少率も同様な傾向にある。津波フロント全延長におけるエネルギーを考慮すると、測定3と測定5との間のエネルギー減少率は測定5と測定15との間にあける率とあまりかわらないくなつていい。これらのことから、港内の津波の問題を検討し、その特性の一端を明らかにすることができる。

5. 結語 津波の変形をハーフースペクトルによって検討し、津波の特性の一端を明らかにした。複雑な境界条件、不規則な波形条件などにつけても今後検討していく。

* 岩垣ら：京大
防災研年報 13B

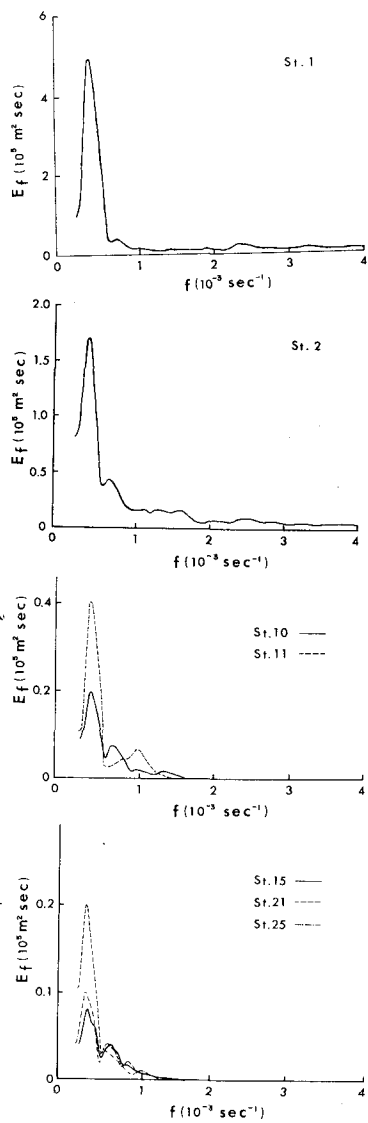


図-3

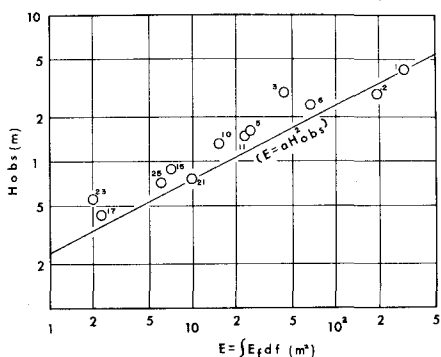


図-4

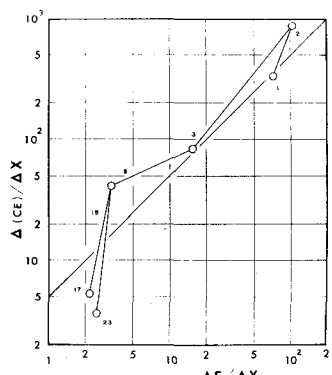


図-5